

## О СТРУКТУРЕ ПОТОКА В ЭЛЕКТРОРАЗРЯДНЫХ УДАРНЫХ ТРУБКАХ

*М. И. Воротникова, Р. И. Солоухин (Новосибирск)*

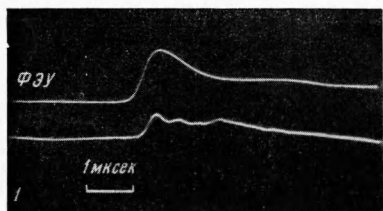
Предельная скорость ударных волн, получаемых в обычных или, как их иногда называют, диафрагменных ударных трубах соответствует числам Маха порядка 10—30 (температура «рабочего» газа  $T \sim 6000^\circ\text{K}$ ). Поэтому вполне понятен интерес к способам получения ударных волн с  $M_1 \sim 5 \cdot 10^2$ , основанным на электродинамическом ускорении проводящих газовых масс при быстрых разрядах. Этому вопросу посвящена обширная литература (см. например, [1] и обзоры [2, 3]), причем в ряде исследований делаются попытки изучения структуры скачка и различных неравновесных процессов за фронтом получаемых таким способом ударных волн. Сразу же заметим, что следует соблюдать известную осторожность при применении методов, распространенных при работе на обычных ударных трубах, в условиях опытов с электроразрядными трубками. В этом отношении весьма показательны данные опытов М. Клупо [4], в которых было обнаружено практическое совпадение фронта свечения газа, находящегося в канале ударной трубы, с фронтом свечения околоэлектродной плазмы разряда. Из опытов М. Клупо следует, что в волнах с  $M_1 \sim 10^2$  плазма разряда («поршень») и термическая плазма («пробка» исследуемого газа) взаимно проникают и перемешиваются.

В этой связи необходимо также упомянуть и об исследовании Чанга [5], где наряду с неодномерной структурой потока в ударной трубке с коаксиальным ускорителем по записям давления можно заметить и отклонения от одномерных законов сохранения на фронте ударной волны при ее отражении от закрытого конца трубы. Ниже сопоставляется оптическая картина процесса с измерениями давления пьезодатчиком и с другими способами «зондирования» состояния среды за ударной волной — для получения более подробных сведений о степени отклонений от одномерности. Соответствующие осциллограммы и развертки приведены на фиг. 1—5.

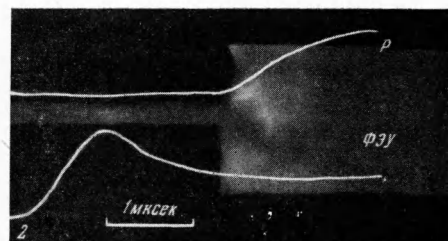
**1. Совмещение картины свечения с записью давления в стенке трубы.** Для одновременной регистрации фронта давления и фронта свечения ударных волн применялась трубка из оргстекла прямоугольного сечения  $15 \times 50 \text{ мм}$ , длиной 160 см, с разрядной секцией типа: осевой вытянутый электрод-стенка,  $C = 600—750 \text{ мкФ}$ ,  $V = 5—5.8 \text{ кВ}$ . Разряд производился в воздухе при начальном давлении  $p_0 = 0.2 \text{ мм рт. ст.}$  Скорость ударной волны могла быть определена с точностью до 1—2% как по разверткам на фотографистре, так и при помощи ФЭУ и двух поперечных щелей. Давление измерялось импульсным пьезодатчиком [6] с диаметром чувствительного элемента 1 мм. Тарировка по чувствительности и проверка точности воспроизведения формы сигнала датчиком проводились на диафрагменной ударной трубке. Ошибка в определении абсолютного значения давления составляла не более  $\pm 8.5\%$ . Датчик задевался в боковую стенку трубы строго против щели регистрирующего канала ФЭУ, размер которой  $1 \times 0.3 \text{ мм}$ .

Сравнение осциллограмм давления и свечения (фиг. 1) указывает на совмещение во времени максимумов измеряемых величин с точностью до  $\sim 0.1 \text{ мксек}$ . Однако начало роста свечения, как правило, заметно опережает начало подъема давления. Разница в постоянной времени нарастания сигналов для волн со скоростью  $\sim 1.5 \text{ см/мксек}$  составляет около 0.3 мксек или (в пространственном разрешении) около 0.5 см. Наиболее наглядное объяснение этому факту можно найти в сопоставлении записи давления с одновременной регистрацией формы контура светящегося фронта ударной волны. Для этой цели производилась съемка картины свечения газа через поперечную щель методом частичной (до 0.9) компенсации движения волны (изображение на пленке в фотографистре движется со скоростью, близкой к скорости волны в том же направлении, см. [6]). На фиг. 2 приведены типичные снимки контура светящегося фронта с наложенными на них записями давления в соответствующем участке. На снимках характерно выражено отсутствие четкой и плавной линии фронта — в невозмущенный газ как бы «внедряются» струски плазмы, образуя своего рода «полупроницаемый поршень». Учитывая разницу во внутренней энергии плазмы разряда и газа, скатого ударной волной, из-за перемешивания, в целом, можно ожидать отклонений средних значений температуры, плотности и давления среды за фронтом от рассчитанных из одномерных законов сохранения для плоской волны.

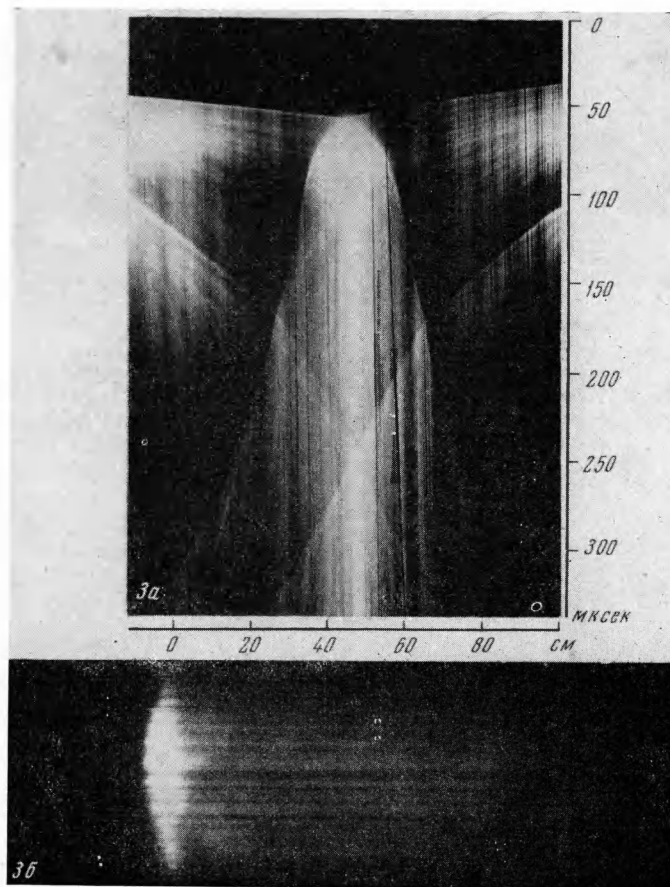
**2. Давление за фронтом ударной волны.** На фиг. 6 приведены абсолютные значения измеренных давлений за фронтом волны. Из сопоставления их с данными одномерного расчета можно видеть, что имеется расхождение приблизительно вдвое в сторону занижения данных эксперимента. Заметим, что уменьшение давления можно обнаружить и в измерениях работы [4] (за отраженной волной), где автор относит это к погрешностям эксперимента. Следует отметить также, что малые значения измеренных давлений находятся в прямой связи с оценками отклонений от расчета по температуре и плотности, приведенными в работе [2], где указано, что отношения экспериментальных значений температуры к теоретическим имеют порядок 2, а отношения экспериментальных значений плотности к теоретическим равны  $\sim 1/3$ .



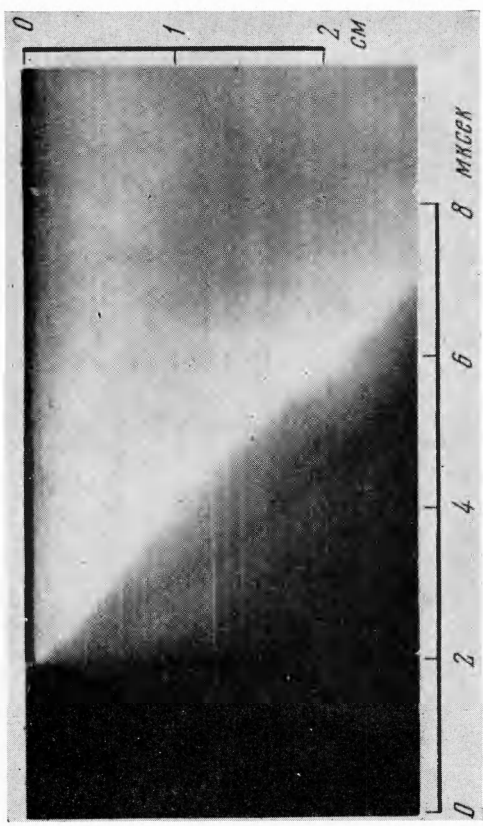
Фиг. 1. Одновременная запись свечения (ФЭУ) и давления ( $p$ );  
 $D \sim 1.5 \text{ см/миксек}$



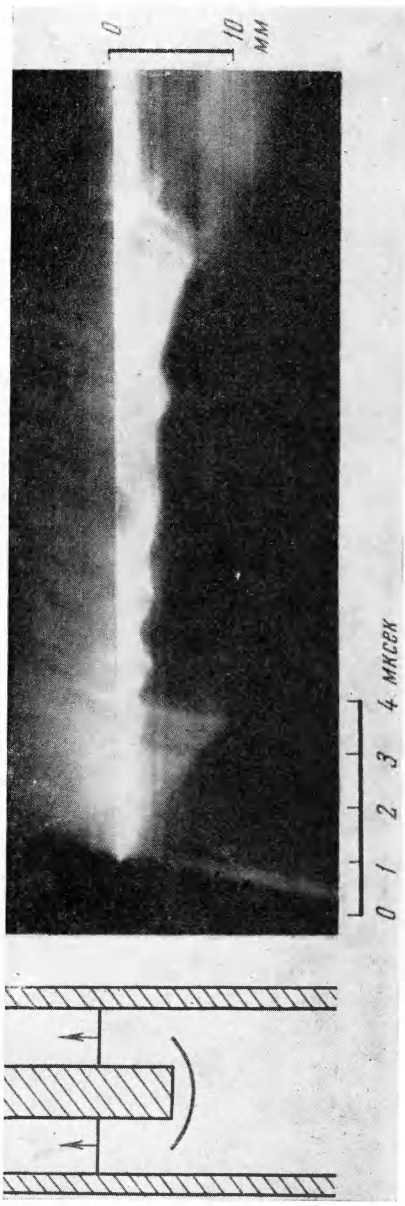
Фиг. 2. Совмещенные во времени кадр свечения, снятый через поперечную щель размером  $46 \times 0.5 \text{ мм}^2$ , и осциллограмма давления, регистрируемая пьезодатчиком, вмонтированным в боковую стенку трубы строго против щели. Узкая светящаяся полоса на кадре получается при прохождении возмущения через вспомогательную щель  $4 \times 0.5 \text{ мм}^2$ , расположенную в  $23 \text{ мм}$  впереди основной щели. Световой сигнал, проходя мимо вспомогательной щели, одновременно регистрируется ФЭУ



Фиг. 3. (а). Фоторегистрограмма процесса столкновения двух волн одинаковой интенсивности;  $D \sim 3 \text{ см/миксек}$ . (б). Кадр свечения распространяющегося возмущения

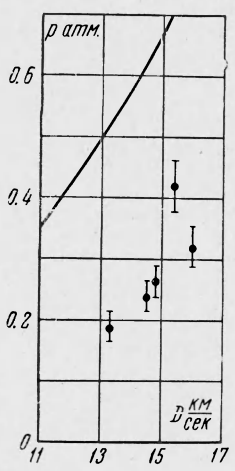


Фиг. 4. Фотопрегистрограмма процесса отражения волны от торца трубы

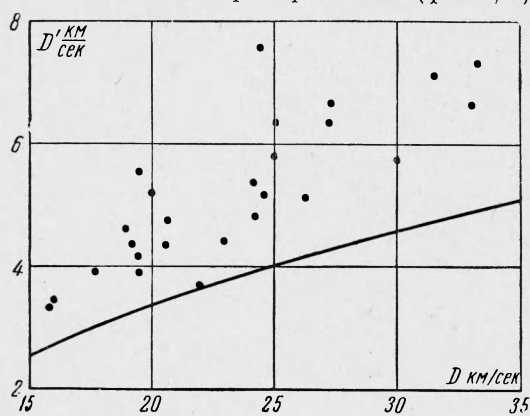


Фиг. 5. Схема опыта и развертка во времени процесса обтекания волной цилиндра диаметром 5 л.м с осью, совпадающей с осью трубы

**3. Скорость отраженных и преломленных ударных волн.** Сопоставление измеренных скоростей отраженных и преломленных ударных волн с расчетом также может служить способом оценки отклонений от одномерности (регистрируемых отклонений от равновесия в данном случае трудно ожидать из-за больших значений температуры среды). Опыты по столкновению и отражению ударных волн проводились в круглой трубке с внутренним диаметром 27 мм и с коаксиальным разрядным устройством. Как и в трубке прямоугольного сечения, фронт свечения волны на расстоянии 60 см от разряда оказывается нерегулярным (чаще всего — выпуклым, см. фиг. 3, б). Типичные развертки столкновения волн равной интенсивности показаны на фиг. 3, а. Развертки отражения волны от закрытого конца трубы в силу симметрии явления вполне аналогичны каждой из половинок развертки типа (фиг. 3, а).



Фиг. 6



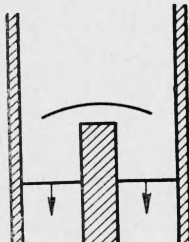
Фиг. 7

Фиг. 6. Сопоставление измеренных абсолютных значений давления с расчетом по одномерной схеме в случае равновесного состояния за фронтом

Фиг. 7. Зависимость скорости отраженной ударной волны  $D'$  км/сек от скорости падающей ударной волны  $D$  км/сек. Точками нанесены экспериментальные данные, кривая — расчетная зависимость по одномерным законам сохранения в случае равновесия

Обрабатывались развертки с существенно большим, чем на фиг. 3, а (в ~50 раз), разрешением во времени и пространстве (фиг. 4). На фиг. 7 сравниваются с одномерным равновесным расчетом (сплошная кривая) значения скорости отраженных волн, измеренные на расстоянии ~1 см около отражающей стенки. Из этого сопоставления нетрудно убедиться в том, что скорости отраженных (преломленных) волн в 1.3—1.5 раза выше расчетных. Если учесть, что скорость отраженной волны  $D'$  связана со сжатием в этой волне  $\beta$  и скоростью потока  $u$  простым соотношением  $D' = u / (\beta - 1)$ , полученные данные будут соответствовать не расчетному значению сжатия  $\beta_2 \sim 7$  для волны в воздухе ( $D = 2$  см/миксек), а сжатию  $\beta_2 \sim 5$ . Этот результат не противоречит наблюдениям по взаимному прониканию и перемешиванию электроразрядной и термической плазмы в падающей волне, если полагать, что разрядная плазма имеет более высокую температуру, чем термическая. Так, если считать, что отмеченное выше изменение сжатия связано только с повышением температуры (скорости звука) за падающей волной с соответствующим изменением числа Маха отраженной волны  $M' \sim 0.6 M$ , то необходимое для этого увеличение температуры должно составлять  $T'_1 \sim 1.5 T_1$ , т. е. несколько ниже, чем в работе [2], где  $T'_1 \sim 2 T_1$ . Однако если принять полученное значение для  $T'$  и, согласно [2], считать  $\rho'_1 \sim 1/3 \rho_1$ , то получаем  $p'_1 / p_1 \sim 1/2$ , что ближе соответствует приведенным выше данным по измерению давления, чем оценки ожидаемого уменьшения давления по [2].

**4. Ударная волна при обтекании препятствия.** Для схемы опыта, представленной на фиг. 8, развертка дана на фиг. 5. По положению скачка уплотнения, формирующего у тормозящей поверхности препятствия (торца цилиндра площацью  $S$ ), можно следить за состоянием потока, за падающей ударной волной, в частности можно дать оценку числу Маха набегающего на тело потока среды. В соответствии с данными [7, 8], отношение расстояния между головной ударной волной и торцом цилиндра  $S$



Фиг. 8. Схема опыта

к диаметру цилиндра  $d$  уменьшается пропорционально отношению плотностей до и после скачка. Сравним теперь с этой оценкой данные фиг. 5. На приведенной развертке  $S/d \sim 0.33$ , т. е. близко соответствует  $M \approx 2.5$  при  $\gamma = 9/7$  — именно случаю более высокой ( $T_1' \sim 1.5 T_1$ ) температуры — а не параметрам чисто термической плазмы, где  $M \sim 3.5$  и ожидаемое значение  $S/d \sim 0.2$ . Таким образом, здесь получено еще одно независимое доказательство справедливости основного момента — отсутствия различия между термической и разрядной плазмой и их перемешивание в электромагнитных ударных трубках при начальных давлениях менее 1  $\text{мм}$  рт. ст.

В заключение авторы благодарят Б. В. Башенякова за помощь при проведении эксперимента.

Поступила 2 VII 1964

#### ЛИТЕРАТУРА

- Холев С. Р., Полтавченко Д. С. Ускорение плазмы разряда и получение сильных ударных волн в камере с коаксиальными электродами. Докл. АН СССР, 1960, т. 131, № 5, стр. 1060.
- McLean E., Faneuff C., Kolb A., Grieam H. Spectroscopic Study of Helium Plasmas Produced by Magnetically Driven Shock Wave. Phys. Fluids, 1960, vol. 3, No. 6, 843.
- Kolb A., Grieam H. High Temperature Shock Waves. Сб. «Atomic and Molecular Processes», ed. by D. Bates, Shterscience, N. Y., 1962, p. 141 (русск. перев.: Успехи физ. наук, 1964, т. 82, № 4, стр. 83); см. также: Kolb A. Proc. IV Int. Confer. Ionisation Phenomena in Gases. Amsterdam, 1921, 1960.
- Cloureau M. Interpretation of Luminous Phenomena Observed in Electromagnetic Shock Tubes. Phys. Fluids, 1963, vol. 6, No. 5, p. 679.
- Chang C. Shock Wave Phenomena in Coaxial Plasma Guns. Phys. Fluids, 1961, vol. 4, No. 9, p. 1085.
- Соловухин Р. И. Ударные волны и детонации в газах. Физматгиз, 1963.
- Liepmann H. W., Roshko A. Element of Gasdynamics. N. Y., 1957, p. 105.
- Griffith W. C. Vibrational Relaxation Times. Fundamental Data obtained from Shock Tube Exp. Perg. Pr., 1961.

#### О СТРУКТУРЕ УДАРНЫХ ВОЛН В СЛУЧАЕ ФАЗОВЫХ ПЕРЕХОДОВ ПЕРВОГО РОДА

**Н. М. Кузнецов (Москва)**

Структура ударной волны в газе с обратимыми химическими реакциями была исследована Я. Б. Зельдовичем [1]. В работе [1] показано, что в структурном отношении следует различать слабые и сильные волны, причем как в слабых, так и в сильных волнах давление  $p$  и плотность  $\rho$  в релаксирующей зоне возрастают по мере приближения к состоянию термодинамического равновесия. Такой ход  $p$  и  $\rho$  получен при выполнении условия  $\delta p > 0$ , где  $\delta p$  — разность давлений на «замороженной» и равновесной ветвях ударной адиабаты при одном и том же значении плотности и при отсутствии изломов ударной адиабаты. При обратимых химических реакциях выполняются оба эти условия<sup>1</sup>.

Однако при фазовом переходе I рода, происходящем медленнее, чем процессы установления термодинамического равновесия в каждой из фаз, возможно и обратное расположение рассматриваемых ветвей ударной адиабаты, т. е.  $\delta p < 0$  [3, 4]. Кроме того, ударная адиабата  $p(V)$ , где  $V = 1/\rho$ , при наличии фазового перехода имеет изломы, причем в случае достаточно сильного скачкообразного уменьшения  $(\delta p / \delta V)$  с возрастанием  $p$  на равновесной ударной адиабате возможно образование двуволновой конфигурации [5]. (Заметим, что при этом во всяком случае  $\delta p > 0$ ). Зависи-

<sup>1</sup> С. П. Дьяковым [2] указывалась возможность  $\delta p < 0$  в случае диссоциации двухатомного или многоатомного газа, вытекающая из того, что ветви ударной адиабаты, соответствующие недиссоциированному и диссоциированному газам в состоянии термодинамического равновесия по всем степеням свободы, кроме диссоциации, при достаточно большой интенсивности ударной волны имеют точку пересечения. Однако можно показать, что в точке пересечения и выше ее, т. е. там, где  $\delta p < 0$ , энергия колебательных степеней свободы достигает величины порядка энергии диссоциации молекулы. При этом скорость диссоциации заведомо не будет малой по сравнению со скоростью релаксации молекулярных колебаний, и само рассмотрение указанных ветвей адиабаты лишается физического содержания.